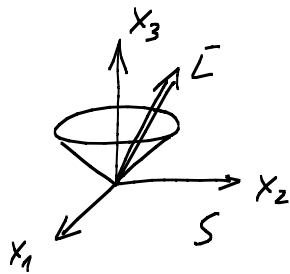


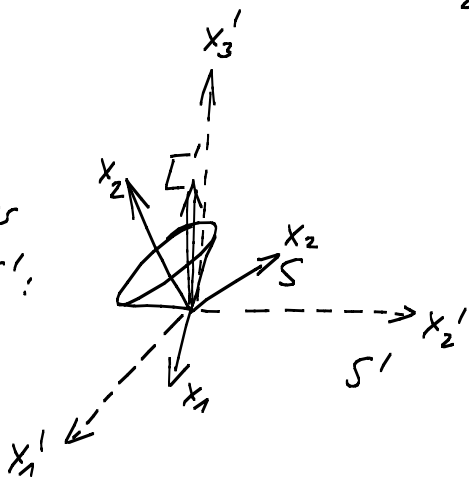
### 4 Kreisel

#### 4.1 Euler-Gleichungen

Körperfestes System  $S$ :



raumfestes System  $S'$ :



- Die Bewegung des Kreisels (und damit des Körperfesten Systems  $S$ ) sei aus der Sicht von  $S'$  durch  $R(t) \in SO(3)$  beschrieben.  
z.B. gilt  $S = S'$  falls  $R(t) = \mathbb{1}$ .

- Es gilt allgemein  $\omega' = R\omega$  und insbes. hier:  $\underline{\underline{L}' = RL}}$

- Bew.g.:  $\dot{L}' = M' \Rightarrow (RL)' = RM$

$$\Rightarrow \dot{R}L + R\dot{L} = RM$$

- Aus 6.5 (rot. Bezugssysteme) wissen wir:  $\dot{R}\boldsymbol{r} = R(\boldsymbol{\omega} \times \boldsymbol{r})$

- Das wenden wir auf  $L$  (statt auf  $r$ ) an:

Dies ist  $\boldsymbol{\omega}$  im  
rotierenden System!

$$\Rightarrow R(\boldsymbol{\omega} \times L) + R\dot{L} = RM$$

$$\dot{L} = M + L \times \boldsymbol{\omega}$$

- Da im Körperfesten System  $L = I\omega$  (mit  $I = \{\text{konst. Matrix}\}$ ) folgt

$$I\dot{\omega} = M + (I\omega) \times \omega.$$

- Mit  $I = \text{diag}(I_1, I_2, I_3)$  (also im Hauptachsensystem) folgt weiter:

$$\left. \begin{aligned} I_1 \dot{\omega}_1 &= M_1 + \omega_2 \omega_3 (I_2 - I_3) \\ I_2 \dot{\omega}_2 &= M_2 + \omega_3 \omega_1 (I_3 - I_1) \\ I_3 \dot{\omega}_3 &= M_3 + \omega_1 \omega_2 (I_1 - I_2) \end{aligned} \right\} \text{Euler-Gleichungen}$$

## 4.2 Freier Kreisel - qualitativ

- Energieerhaltung:  $E = T = \frac{1}{2} \omega^T I \omega = \text{const.}$

$$E = \frac{1}{2} \sum_{i=1}^3 I_i \omega_i^2 \quad (\text{Hauptachsensystem})$$

- Mit  $L_i = I_i \omega_i$  (keine Summe!) folgt weiter:  $E = \frac{1}{2} \sum_{i=1}^3 \frac{L_i^2}{I_i}$

oder

$$\left[ \frac{L_1^2}{2EI_1} + \frac{L_2^2}{2EI_2} + \frac{L_3^2}{2EI_3} = 1 \right] \quad \text{"Binet-Ellipsoid"}$$

Dies beschreibt im "L-Raum" ein Ellipsoid mit Halbachsen

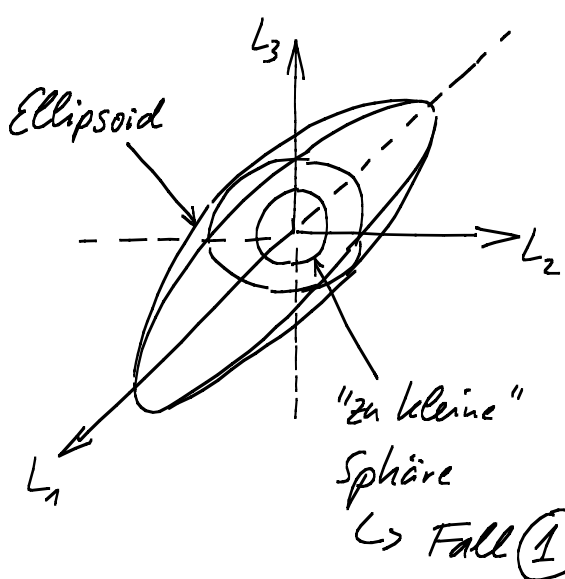
$\sqrt{2EI_i}$ . (Vgl.  $\frac{x^2}{a^2} + \frac{y^2}{b^2} + \frac{z^2}{c^2} = 1$  für Ellipsoid mit Halbachsen  $a, b, c$ .)

- Drehimpulserhaltung:  $L' = \text{const.}$

$$L' = RL \Rightarrow (RL)^2 = L'^2 = \text{const.}^2$$

$$\Rightarrow [L \text{ liegt auf Sphäre mit festem Radius } |L'|]$$

Also:  $L$  "bewegt sich" (im Körperfesten System) auf Schnittkurve von Binet-Ellipsoid und Sphäre.



Sei o.B.d.A.  $I_1 > I_2 > I_3$

$$\textcircled{1} \quad |L| < \sqrt{2EI_3} \quad - \text{ unmöglich}$$

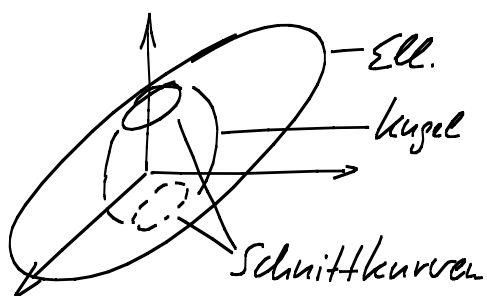
$$\textcircled{2} \quad |L| = \sqrt{2EI_3}$$

$\Rightarrow$  "eingeschriebene Kugel" mit 2 Berührungs punkten:

$$L = \pm (0, 0, \sqrt{2EI_3})$$

(phys.: Rotation d. Körpers mit festem  $\bar{\omega} \parallel \hat{e}_3$ )

$$\textcircled{3} \quad \sqrt{2EI_3'} < |\bar{L}| < \sqrt{2EI_2'} \Rightarrow \text{zwei geschlossene Kurven}$$

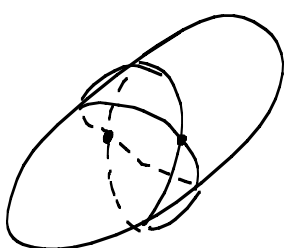


$\Rightarrow \bar{L}$  bewegt sich im körperfesten System entlang einer dieser Kurven

= kräftefreie Präzession des Körpers im Raumfesten System

(die kleinen geschl. Kurven um die isolierten Punkte von \textcircled{2} zeigen, dass die Bewegung von \textcircled{2} stabil ist)

$$\textcircled{4} \quad |\bar{L}| = \sqrt{2EI_2} \Rightarrow \text{zwei sich berührende Kurven}$$



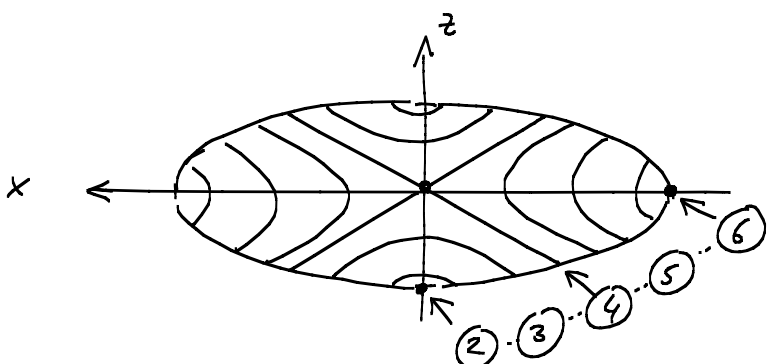
$\Rightarrow \bar{L}$  sitzt an einem Krümmungspkt. (aber instabil!) oder bewegt sich entlang Kurve.

$$\textcircled{5} \quad \sqrt{2EI_2} < |\bar{L}| < \sqrt{2EI_1} \Rightarrow \text{zwei geschl. Kurven, ähnlich zu } \textcircled{3}$$

$$\textcircled{6} \quad |\bar{L}| = \sqrt{2EI_1} \Rightarrow \text{zwei Berührungs punkte (stabiler Grenzfall zu } \textcircled{5}, \text{ analog zu } \textcircled{3} \rightarrow \textcircled{2})$$

$$\textcircled{7} \quad |\bar{L}| > \sqrt{2EI_1} - \text{unmöglich}$$

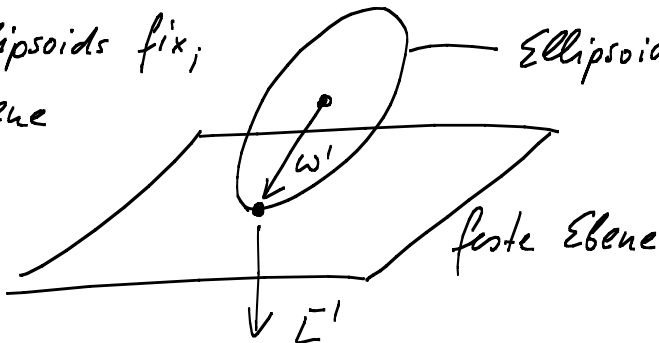
Abschließend: Ellipsoid von "y =  $\infty$ " aus gesehen:



Kommentar: Man kann die geometrische Analyse auch im raumfesten System durchführen und erhält ein sehr schönes Ergebnis ("Poincaré Konstruktion"):

- Zentrum des Ellipsoids fix;  
Rollen auf Ebene

↓  
entspr. Bewegung  
d. Körpers



$$\text{Ellipsoid } E = \frac{1}{2} I_{ij}' \omega_i' \omega_j'$$

Detaills:

Notizen von 2006,  
S. 94 f.

### 4.3 Freier Kreisel - analytisch

Euler Gl.-en:  $I_1 \dot{\omega}_1 = \omega_2 \omega_3 (I_2 - I_3)$  & zykl. Permutationen

⇒ Falls 2 der 3 Komponenten von  $\bar{\omega}$  verschwinden, ist  $\bar{\omega} = \text{const.}$   
Dies entspricht den in 4.2 besprochenen stationären Lösungen  
(Rot. um eine der Hauptachsen), von denen eine instabil ist.

- Für den Rest des Paragraphen betrachten wir zur Vereinfachung

$$\underbrace{I_1 = I_2}_{\equiv I_0} < I_3 \quad (\text{"plattgedrückte Kugel", ähnlich zur Erde})$$

$$\Rightarrow \begin{cases} I_0 \dot{\omega}_1 = (I_0 - I_3) \omega_2 \omega_3 \\ I_0 \dot{\omega}_2 = - (I_0 - I_3) \omega_3 \omega_1 \\ I_3 \dot{\omega}_3 = 0 \end{cases} \Rightarrow \omega_3 = \text{const.} \Rightarrow \alpha \equiv -\omega_3 \cdot \left(1 - \frac{I_3}{I_0}\right) = \text{const.}$$

$$\Rightarrow \begin{cases} \dot{\omega}_1 = -\alpha \omega_2 \\ \dot{\omega}_2 = \alpha \omega_1 \end{cases} \Rightarrow \ddot{\omega}_1 = -\alpha^2 \omega_1 \Rightarrow \omega_1 = A \cos(\alpha t + \varphi) \quad (\text{Setze } \varphi = 0 \text{ o.Bd.A.})$$

$$\Rightarrow \left\| \begin{array}{l} \omega_1 = A \cos \alpha t \\ \omega_2 = A \sin \alpha t \end{array} \right\| \quad \begin{array}{l} (\text{Spitze von } \bar{\omega} \text{ bewegt sich} \\ \text{auf Kreis in Ebene } \omega_3 = \text{const.}) \\ \text{Dies ist analog zur in 4.2} \\ \text{gefundenen Bewegung von } \bar{L} \text{ im} \\ \text{Fall eines symm. Ellipsoids.}) \end{array}$$

↑  
Präzess. frequenz

$$\text{Bsp.: Erde: } -\left(1 - \frac{I_3}{I_0}\right) \sim 0.003 \equiv \varepsilon$$

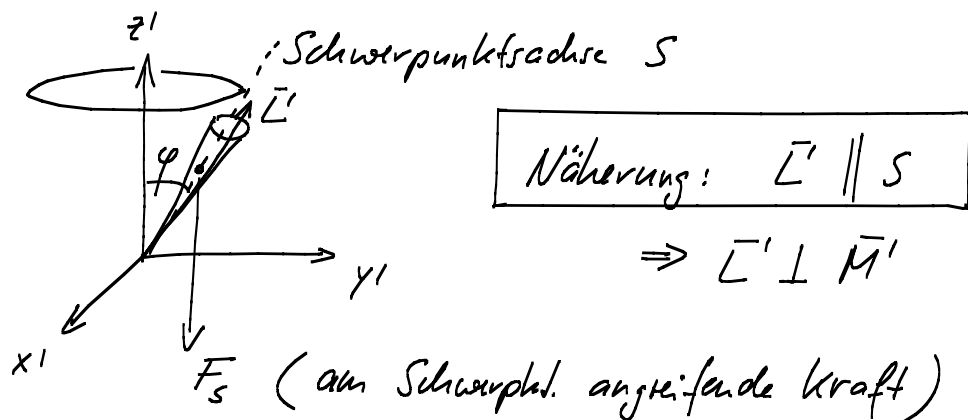
$$\text{Präzessionsfrequenz: } \alpha \sim \omega_{\text{Erde}} \cdot \varepsilon$$

$$\Rightarrow T_{\text{Präz.}} \sim \frac{T_{\text{Erde}}}{\varepsilon} \sim 300 \text{ Tage}$$

(funktioniert exp. nicht gut; man sieht sogenannten "Chandler wobble" statt sauberer Präzession; Gründe sind u.a. Jahreszeiten & Deformierbarkeit d. Erde)

#### 4.4 Schwerer Kreisel - vereinfacht

(Dies ist nur eine Erinnerung an die Exp.phys. !)



$$\dot{\bar{L}'} = \bar{M}' \xrightarrow{\bar{L}' \perp \bar{M}} |\bar{L}'| = \text{const.}$$

$\bar{F}_s \parallel \hat{e}_z \xrightarrow{\quad} \bar{M}' \text{ liegt in}$

$x'-y'$ -Ebene

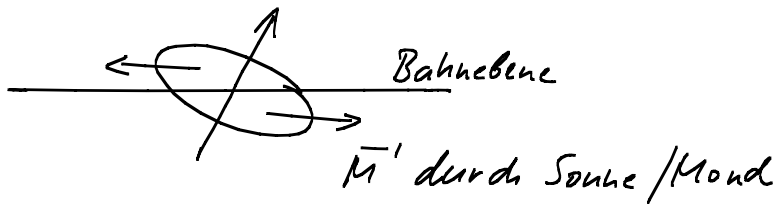
}

⇒ Spitze von  $\bar{L}'$   
bewegt sich  
auf Kreis in  
 $x'-y'$ -Ebene

Kreisradius:  $|\bar{L}'| \sin \varphi$ ; Geschw.:  $|\bar{M}'|$

$$\Rightarrow \text{Periode } T = \frac{2\pi R}{\omega} = \frac{2\pi / L' \sin \varphi}{|M'|} \left( = \frac{2\pi / L'}{mg \ell} \right)$$

Bsp.: Erde



$\Rightarrow$  "Präzession d. Äquinoletialpunkte"

("precession of the equinoxes")

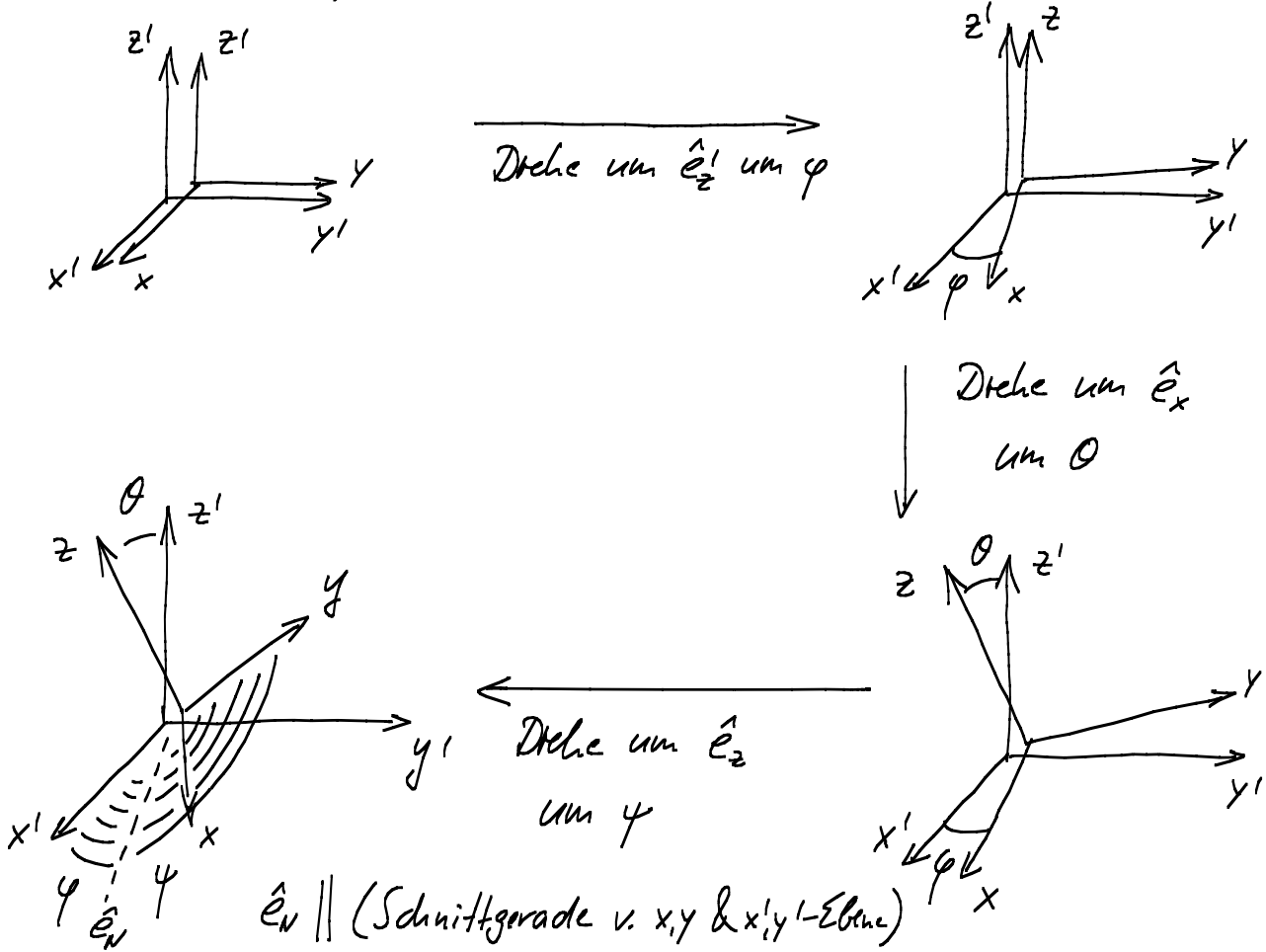
$T \approx 26,000 \text{ a}$

#### 4.5 Schwerer Kreisel - exakt

(präziser: symm. Kreisel im Schwerkraftfeld = Lagrange'scher Kreisel)

##### M4 - Eulersche Winkel

(= geogene Parametrisierung der relativen Lage zweier Koordinatensysteme)



Wegen Additivität kleiner Drehungen (im Sinne von Additivität der  $\delta\varphi$ 's) gilt:

$$\overline{\omega}' = \dot{\varphi} \hat{e}_z' + \dot{\psi} \hat{e}_x + \dot{\theta} \hat{e}_y$$

"abstrakter Vektor"

- Wir verbinden S fest mit einem symm. Kreisel ( $I_1 = I_2 = I_0$ ).

$$\Rightarrow \mathcal{L} = \frac{1}{2} [I_0 (\omega_1^2 + \omega_2^2) + I_3 \omega_3^2] - mgl \cos \theta$$

- Offensichtlich sind  $\varphi$  &  $\psi$  zyklisch (Rot.-symm. des Schwerfeldes & des Kreisels).

- Also können wir die Anschriftung  $\{\omega_1, \omega_2, \omega_3\} \rightarrow \{\varphi, \psi, \theta, \dot{\varphi}, \dot{\psi}, \dot{\theta}\}$   
bei  $\varphi = \psi = 0$  durchführen

$$\overline{\omega}' = \dot{\varphi} (\hat{e}_z \cos \theta + \hat{e}_y \sin \theta) + \dot{\psi} \hat{e}_x + \dot{\theta} \hat{e}_y$$

$$\Rightarrow \omega_1 = \dot{\theta} ; \quad \omega_2 = \dot{\varphi} \sin \theta ; \quad \omega_3 = \dot{\varphi} + \dot{\varphi} \cos \theta$$

$$\Rightarrow \boxed{\mathcal{L} = \frac{1}{2} [I_0 (\dot{\theta}^2 + \dot{\varphi}^2 \sin^2 \theta) + I_3 (\dot{\varphi} + \dot{\varphi} \cos \theta)^2] - mgl \cos \theta}$$

(gilt auch bei  $\varphi, \psi \neq 0$ !)

- Schreibe  $E = T + V = \text{const.}$  (Energieerhaltung)

- Nutze  $\frac{\partial \mathcal{L}}{\partial \dot{\varphi}} = L'_3 = \text{const.}'$  &  $\frac{\partial \mathcal{L}}{\partial \dot{\psi}} = L_3 = \text{const.}''$

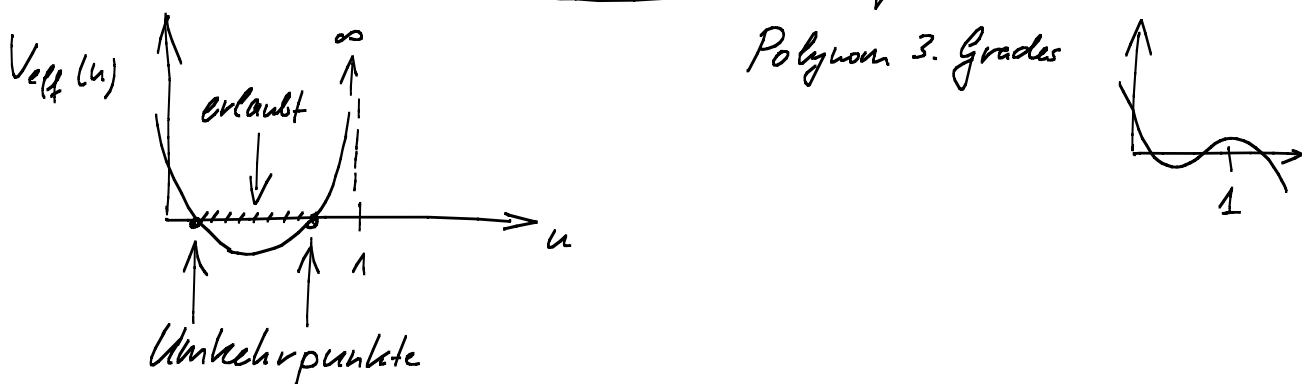
um  $\dot{\varphi}$  &  $\dot{\psi}$  aus der Energieerhaltungsgleichung zu eliminieren.

- Definiere  $u = \cos \theta$

$\Rightarrow$  Effektives 1-dim. Problem mit  
(Details:  $\rightarrow$  Übungen)

$$E = \frac{1}{2} I_0 \frac{\dot{u}^2}{1-u^2} + V_{\text{eff}}(u) ; \quad V_{\text{eff}}(u) = mglu + \frac{L_3^2}{2I_3} + \frac{(L'_3 - L_3 u)^2}{2I_0(1-u^2)}$$

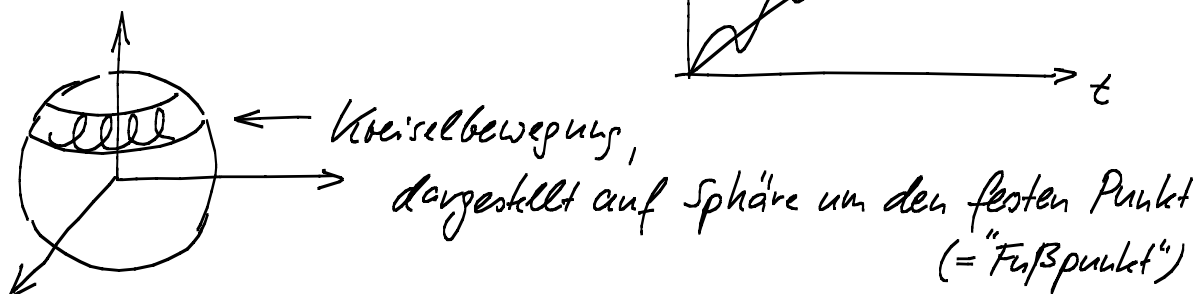
• Urschreibung:  $-\ddot{u}^2 = \frac{2}{I_0} \left\{ \left( \text{angl} u + \frac{L_3^2}{2I_3} - E \right) (1-u^2) + \frac{(L_3' - L_3 u)^2}{2I_0} \right\}$



$\Rightarrow u$  oszilliert zwischen  $u_{\min}$  &  $u_{\max}$   
 $(\theta$  oszilliert zwischen  $\theta_{\min}$  &  $\theta_{\max}$ ).)

Währenddessen schreitet  $\varphi$  (ungleichmäßig) voran:

$$\dot{\varphi} = \frac{L_3' - L_3 \cos \theta}{I_0 \sin^2 \theta}$$



ebenso möglich:



oder



(Grenzfall)

Dieser Grenzfall entspricht einem  
"angedrehten" und dann in schräger  
Lage losgelassenem Kreisel.